

Квантовая трансформация спиновой структуры нанокластера Fe_8 в сверхсильных магнитных полях

© А.К. Звездин, В.И. Плис, А.И. Попов

Московский государственный институт электронной техники,
103498 Москва, Россия

(Поступила в Редакцию 16 июля 1999 г.
В окончательной редакции 25 ноября 1999 г.)

Исследован процесс перестройки спиновой структуры высокоспинового кластера Fe_8 в сильном магнитном поле. Рассчитаны кривые намагниченности и магнитной восприимчивости материала в зависимости от внешнего магнитного поля и температуры. Показано, что магнитное поле индуцирует трансформацию спиновой структуры кластера Fe_8 от квазиферримагнитной со средним магнитным моментом $20 \mu_B$ на молекулу к квазиферромагнитной с моментом $40 \mu_B$. В отличие от аналогичной трансформации неелевского ферримагнетика, которая является непрерывной и реализуется через промежуточную угловую фазу, в Fe_8 этот процесс при низких температурах проявляется как каскад дискретных квантовых скачков, каждый из которых представляет собой переход с повышением спинового числа комплекса. При высоких температурах поведение магнитного кластера приближается к тому, которое описывается классической теорией. Обсуждается природа квантовых скачков с точки зрения индуцированного магнитным полем пересечения энергетических уровней основного состояния магнитного кластера.

Работа поддержана грантом Российского фонда фундаментальных исследований № 97-02-17-972а, грантом № 97-0-7.036 по исследованиям в области фундаментального естествознания в системе Минобразования РФ, а также МНТП (проект № 97-1071) и ФЦП Интеграция (проект № К-0573).

В настоящее время проводятся весьма интенсивные исследования молекулярных кристаллов, состоящих из высокоспиновых органических кластеров, включающих в себя ионы переходных металлов ($Mn_{12}Ac$, Fe_6 , Fe_8 , Fe_{10} и т.д.) [1–11]. Магнитное взаимодействие между кластерами в этих молекулярных кристаллах является исчезающее слабым, поэтому с точки зрения магнетизма они представляют собой совокупность практически не взаимодействующих магнитных подсистем и открывают интересные возможности изучения квантовых закономерностей систем с промежуточными (мезоскопическими), но строго определенными размерами. Особенно интересными в этом аспекте свойствами магнитных кластеров являются наблюдаемые в них бистабильность, квантовый гистерезис, макроскопическое квантовое туннелирование намагниченности, гигантские квантовые флуктуации [2–5,8,12]. Под молекулярной бистабильностью понимают тот факт, что молекулярный кластер может существовать в двух различных состояниях в условиях, когда внешние параметры изменяются в определенном диапазоне. Молекулярная бистабильность представляет несомненный интерес для развития информационных технологий [11]. Макроскопическое квантовое туннелирование, тесно связанное со свойствами молекулярной бистабильности, интересует физиков в связи с фундаментальными проблемами квантовой теории и, возможно, в связи с проблемой реализации квантовых методов обработки информации. Магнитным кластерам присуще поведение промежуточного типа, включающее в себя наряду с классическими чертами, характерными для объемных магнитных материалов, также и специфические квантовые особенности, подобные тем, которыми обладают

индивидуальные атомы и молекулы [9,13]. В настоящей работе исследуется кластер Fe_8 . Схематически структура кластера изображена на рис. 1. Его общая формула $[(tacn)_6Fe_8O_2(OH)_{12}]$, где $(tacn)$ — так называемый триазациклопенан. Кластер Fe_8 обладает приближенной D_2 симметрией. В основном состоянии кластера в слабых полях значение его полного спина $S_t = 10$. Это значение формируется в результате антиферромагнитных обменных взаимодействий между ионами Fe^{3+} , поэтому такой кластер может рассматриваться как ферримагнетик на молекулярном уровне. Важнейшими характеристиками магнитных кластеров являются обменные интегралы, определяющие конкретную магнитную структуру кластера. Недавно было показано на примере магнитного кластера $Mn_{12}Ac$, что измерение процесса перестройки магнитной структуры от ферримагнитной к ферромагнитной является прямым и эффективным методом определения обменных параметров кластера. Измерения магнитной восприимчивости кластера $Mn_{12}Ac$ при такой перестройке проводились в мегагауссных магнитных полях с использованием взрывных генераторов магнитного поля МК-1. Известно, что с ростом магнитного поля в классических ферримагнетиках происходит переход из ферримагнитной в угловую фазу, а затем осуществляется переход из угловой фазы в ферромагнитную. Эти фазовые переходы для изотропных систем являются непрерывными. Однако в случае магнитных кластеров с антиферромагнитным обменным взаимодействием между магнитными ионами переход от ферримагнитного состояния к ферромагнитному качественно отличается от классического. А именно, данный переход представляет собой последовательность квантовых скачков на-

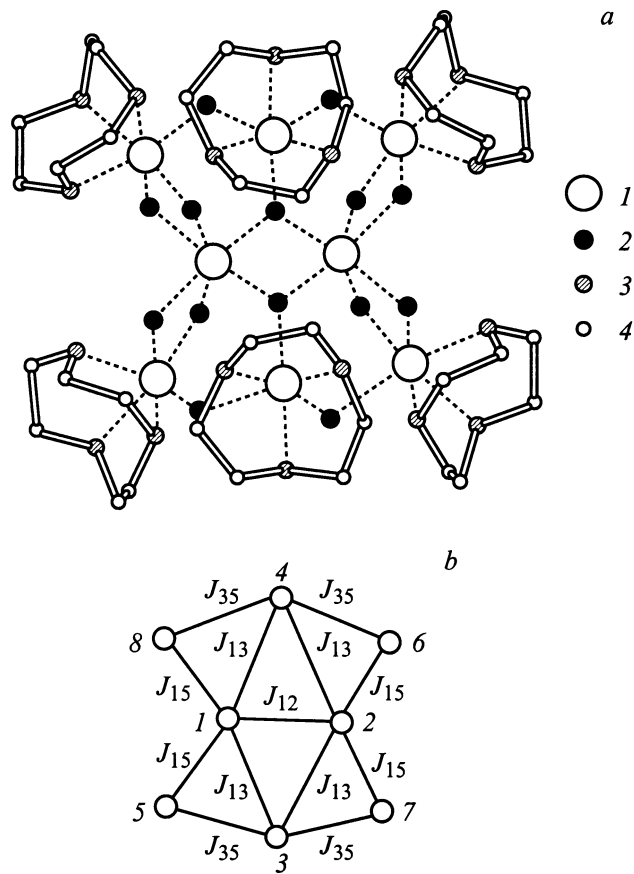


Рис. 1. *a* — структура кластера Fe₈: 1 — ионы Fe₈, 2, 3, 4 — соответственно ионы O, N и C; *b* — схема обменных связей ионов железа в кластере Fe₈.

магничности, каждый из которых сопровождается повышением спинового числа комплекса [9]. В настоящей работе исследована подобная трансформация спиновой структуры кластера Fe₈, происходящая в ультрасильных полях, изучено поведение намагниченности и магнитной восприимчивости кластера в зависимости от величины поля и температуры.

1. Гамильтониан, базисные функции, матричные элементы

Гамильтониан магнитного кластера Fe₈ может быть представлен в виде (рис. 1) [10]

$$\begin{aligned}
 H = & J_{12}(\mathbf{S}_1\mathbf{S}_2) + J_{13}(\mathbf{S}_1\mathbf{S}_3 + \mathbf{S}_2\mathbf{S}_3 + \mathbf{S}_2\mathbf{S}_4 + \mathbf{S}_1\mathbf{S}_4) \\
 & + J_{15}(\mathbf{S}_1\mathbf{S}_5 + \mathbf{S}_1\mathbf{S}_8 + \mathbf{S}_2\mathbf{S}_7 + \mathbf{S}_2\mathbf{S}_6) \\
 & + J_{35}(\mathbf{S}_3\mathbf{S}_5 + \mathbf{S}_3\mathbf{S}_7 + \mathbf{S}_4\mathbf{S}_6 + \mathbf{S}_4\mathbf{S}_8) + 2\mu_B H \sum_{i=1}^8 S_{iz}, \quad (1)
 \end{aligned}$$

где $S_i = 5/2$.

Этот гамильтониан представляет собой матрицу $6^8 \times 6^8$ в пространстве спиновых состояний, что делает весьма

затруднительным прямой численный анализ этой системы. Поэтому при изучении энергетического спектра системы воспользуемся иерархией обменных интегралов в (1). Согласно [10], в (1)

$$J_{12} = 25, \quad J_{13} = 140, \quad J_{15} = 17, \quad J_{35} = 48 \text{ cm}^{-1}. \quad (2)$$

Представим (1) в виде

$$H = H_0 + H', \quad (3)$$

где

$$\begin{aligned}
 H_0 = & H_{01} + H_{0z} = J_{13}(\mathbf{S}_1\mathbf{S}_3 + \mathbf{S}_2\mathbf{S}_3 \\
 & + \mathbf{S}_2\mathbf{S}_4 + \mathbf{S}_1\mathbf{S}_4) + 2\mu_B H \sum_{i=1}^4 \hat{S}_{iz}, \quad (4)
 \end{aligned}$$

а гамильтониан H' включает в себя обменные взаимодействия J_{12}, J_{15}, J_{35} и оставшуюся часть зеемановского взаимодействия.

Определим собственные функции и уровни энергии гамильтониана H_{01} . Легко видеть, что H_{01} можно представить в виде

$$\begin{aligned}
 H_{01} = & J_{13}(\mathbf{S}_1\mathbf{S}_3 + \mathbf{S}_2\mathbf{S}_3 + \mathbf{S}_2\mathbf{S}_4 + \mathbf{S}_1\mathbf{S}_4) \\
 = & J_{13}(\mathbf{S}_1 + \mathbf{S}_2)(\mathbf{S}_3 + \mathbf{S}_4). \quad (5)
 \end{aligned}$$

Из (5) следует, что собственные функции гамильтониана H_{01} отвечают следующей схеме сложения угловых моментов:

$$(\mathbf{S}_1 + \mathbf{S}_2) = \mathbf{S}_{12}, \quad (\mathbf{S}_3 + \mathbf{S}_4) = \mathbf{S}_{34}, \quad (\mathbf{S}_{12} + \mathbf{S}_{34}) = \mathbf{S}. \quad (6)$$

В (6) S_{12}, S_{34} могут принимать значения $0, 1, \dots, 5$ соответственно $S = 0, 1, \dots, 10$.

Таким образом, собственные состояния гамильтониана (5) являются собственными состояниями операторов $\hat{S}_1^2, \hat{S}_2^2, \hat{S}_3^2, \hat{S}_4^2$ ($S_i = 5/2$), $\hat{S}_{12}^2, \hat{S}_{34}^2, \hat{S}^2$ и S_z и имеют вид

$$\begin{aligned}
 |S_1 S_2 (S_{12}) S_3 S_4 (S_{34}) S M_S\rangle = & \sum C_{S_{12} M_{12} S_{34} M_{34}}^{S M_S} C_{S_1 m_1 S_2 m_2}^{S_{12} M_{12}} C_{S_3 m_3 S_4 m_4}^{S_{34} M_{34}} \\
 & \times |S_1 m_1\rangle |S_2 m_2\rangle |S_3 m_3\rangle |S_4 m_4\rangle. \quad (7)
 \end{aligned}$$

Уровни энергии гамильтониана H_{01}

$$\begin{aligned}
 E_{01}(S_{12}, S_{34}, S) = & \frac{J_{13}}{2} [S(S+1) - S_{12}(S_{12}+1) \\
 & - S_{34}(S_{34}+1)]. \quad (8)
 \end{aligned}$$

Для изучения поведения намагниченности кластера актуальными состояниями являются состояния только с $S_{12} = S_{34} = 5$ и $M_S = -S$, поскольку при заданном значении S состояния, отвечающие значениям S_{12} и S_{34} , отличным от пяти, лежат значительно выше ($\Delta E \geq 5J_{13} = 700 \text{ cm}^{-1}$) и их термической заселенностью можно пренебречь. В дальнейшем при обозначении собственных состояний и уровней энергии (см. (7), (8)) индексы S_{12}, S_{34}, S_i ($i = 1, \dots, 4$) будем

опускать. Основное состояние кластера Fe_8 в слабых полях характеризуется значением полного спина $S = 10$. Оно может быть реализовано (при $(J_{13} > 0)$) только при том условии, что основным состоянием ионов 5–8 являются состояния $|S_j m_j\rangle$ ($j = 5, \dots, 8$) $S_j = 5/2$, $m_j = -5/2$. Таким образом в первом приближении актуальными состояниями всего кластера являются

$$\Psi^{(0)}(S) = |SM_S = -S\rangle \prod_{j=5}^8 |S_j m_j = -5/2\rangle. \quad (9)$$

Рассчитаем среднее значение энергии в состояниях (9). Воспользуемся тем обстоятельством, что для состояний (9)

$$S_1 S_2 = \frac{S_{12} - S_1(S_1 + 1) - S_2(S_2 + 1)}{2} = \frac{25}{4},$$

$$\left(S_{12} = 5, \quad S_1 = S_2 = \frac{5}{2} \right),$$

$$\langle S(-S) | S_{iz} | S(-S) \rangle = -\frac{S}{4} \quad (i = 1, \dots, 4)$$

и найдем, что

$$\begin{aligned} E^{(0)}(S, H) &= \langle \Psi^{(0)}(S) | H | \Psi^{(0)}(S) \rangle \\ &= \frac{J_{13}}{2} S(S+1) + (J_{15} + J_{35}) \frac{5S}{2} \\ &\quad - 2\mu_B H S - 20\mu_B H. \end{aligned} \quad (10)$$

В (10) мы опустили слагаемые, не зависящие как от квантового числа S , так и от H , поскольку они приводят к сдвигу уровней $E^{(0)}(S, H)$ на одну и ту же величину и поэтому являются несущественными. Обратим внимание на тот факт, что хотя $J_{13} > J_{15}, J_{35}$ (см. (2)), тем не менее для малых S ($S = 0, 1, 2$) второе слагаемое в (10) либо превышает первое, либо сравнимо с ним. Поэтому использование состояний (9) в качестве функций первого приближения для расчета энергетического спектра кластера Fe_8 не является корректным в случае малых значений S . Для отыскания актуальных уровней энергии в данной ситуации поступим следующим образом. Введем обозначение

$$\begin{aligned} \varphi_n^k([m_j]) &= \varphi_{m(n)}^k(m_5, m_6, m_7, m_8) \\ &= \frac{1}{\sqrt{N_k}} \sum_p \left(\prod_{j=5}^8 |S_j m_j\rangle \right)_n^k, \end{aligned} \quad (11)$$

где p — нетривиальные перестановки величин m_j , N_k — их количество, $n = m + 10$ ($n = 0, 1, \dots, 10 - S$), $m = \sum_{j=5}^8 m_j$ — сумма магнитных моментов квантовых чисел состояний ионов 5, ..., 8, индекс k принимает значения от 1 до r , r — число различных наборов чисел

m_j , ($j = 5, \dots, 8$), для которых величина m остается постоянной. Состояния $\varphi_n^k([m_j])$ являются собственными функциями оператора $\sum_{j=5}^8 S_{jz}$

$$\langle \varphi_n^k([m_j]) | \sum_{j=5}^8 S_{jz} | \varphi_n^k([m_j]) \rangle = m = n - 10. \quad (12)$$

Операторы $\sum_{j=5}^8 S_{jz}$ и \hat{H} коммутируют. Поэтому связываться между собой могут лишь следующие интересующие нас состояния:

$$\Psi_n^k(S) = |(S+n)(-S-n)\rangle \varphi_n^k([m_j]). \quad (13)$$

Они отвечают одному и тому же значению полного спина $S_{iz} = -S - 10$. Выберем функции (13) в качестве исходных базисных функций для определения энергетического спектра кластера Fe_8 .

Диагональные матричные элементы гамильтониана (1) в базисе (13)

$$\begin{aligned} H_{nn}(S) &= \langle \Psi_n^k(S) | H | \Psi_n^k(S) \rangle \\ &= W_n(S) - 2\mu_B H S - 20\mu_B H, \end{aligned} \quad (14)$$

$$\begin{aligned} W_n(S) &= \frac{J_{13}}{2} (S+n)(S+n+1) \\ &\quad + \frac{(J_{15} + J_{35})}{4} (S+n)(10-n). \end{aligned} \quad (15)$$

Недиагональные матричные элементы можно вычислить, воспользовавшись соотношением

$$\begin{aligned} \langle S(-S) | \langle S_j(m_j - 1) | S_i S_j | S_j m_j \rangle | S+1(-S-1) \rangle \\ = \frac{\sqrt{35}}{16} f(S) C_{\frac{5}{2} m_j - 1}^{\frac{5}{2} m_j - 1}, \end{aligned} \quad (16)$$

где

$$f(S) = \sqrt{\frac{(S+12)(10-S)(S+1)}{2S+3}}, \quad (17)$$

полученным при использовании соотношений теории углового момента [14]. В (16) индекс i принимает какое-либо значение от 1 до 4, а индекс j — от 5 до 8.

Для определения физических свойств кластера в сильных магнитных полях достаточно проследить за поведением в поле нижних уровней энергии, определяемых диагонализацией матриц $H_{(nk)(n'k')}(S, H = 0)$ ($S = 0, 1, \dots, 10$), которые имеют ранги от 60 (при $S = 0$) до 1 (для $S = 10$).

Данная задача тем не менее является достаточно громоздкой. Однако, как показывает анализ, даже для величин J_{ij} , приведенных в (2), можно использовать теорию возмущений и получить зависящие от параметров J_{ij} и от H аналитические выражения для актуальных уровней энергии Fe_8 .

Величины уровней энергии кластера Fe₈ и значения полей пересечения уровней энергии основного состояния

<i>S</i>	0	1	2	3	4	5	6	7	8	9	10
<i>E</i> ₀ (<i>S</i>), см ⁻¹	-292	55	536	1153	1920	2808	3835	5000	6302	7745	9325
<i>H</i> _{<i>S</i>} , Т	371	515	662	827	950	1099	1258	1393	1544	1698	

2. Уровни энергии в магнитном поле

В базисных функциях

$$\Psi_1 = |S, -S\rangle \varphi_0^{(1)} \left(\left[-\frac{5}{2} - \frac{5}{2} - \frac{5}{2} - \frac{5}{2} \right] \right),$$

$$\Psi_2 = |S + 1, (-S - 1)\rangle \varphi_1^{(1)} \left(\left[-\frac{3}{2} - \frac{5}{2} - \frac{5}{2} - \frac{5}{2} \right] \right),$$

$$\Psi_3 = |S + 2, (-S - 2)\rangle \varphi_2^{(1)} \left(\left[-\frac{1}{2} - \frac{5}{2} - \frac{5}{2} - \frac{5}{2} \right] \right),$$

$$\Psi_4 = |S + 2, (-S - 2)\rangle \varphi_2^{(2)} \left(\left[-\frac{3}{2} - \frac{3}{2} - \frac{5}{2} - \frac{5}{2} \right] \right)$$

матрица $H_{pr} = H_{(nk)(n'k')}(S)$ имеет вид

$$\|H\| = \begin{vmatrix} W_0 & H_{12} & 0 & 0 & \dots \\ H_{21} & W_1 & H_{23} & H_{24} & \dots \\ 0 & H_{32} & W_2 & 0 & \dots \\ 0 & H_{42} & 0 & W_2 & \dots \\ \dots & \dots & \dots & \dots & \dots \end{vmatrix}. \quad (18)$$

$H_{1t} = H_{2t} = 0, t = 5, 6, \dots, r$, где r — ранг матрицы $H_{pr}(S)$,

$$\begin{aligned} H_{12} &= \frac{1}{2} \sqrt{5} f(S)(J_{15} + J_{35}), \\ H_{23} &= \frac{1}{2} f(S + 1)(J_{15} + J_{35}), \\ H_{24} &= \frac{\sqrt{15}}{4} f(S + 1)(J_{15} + J_{35}), \end{aligned} \quad (19)$$

$f(S)$ определены выражением (17), а величины W_i $i = 0, 1, 2$ определены формулой (15). Для малых значений S ($S = 0, 1$) и приведенных выше значений J_{ij} (см. (2)) недиагональный матричный элемент H_{12} сравним с $W_1(0) - W_0(0)$, так, при $S = 0$ $H_{12} = 325 \text{ см}^{-1}$, $W_1(0) - W_0(0) = 286 \text{ см}^{-1}$. Поэтому поступим следующим образом. Диагонализуем матрицу

$$\begin{vmatrix} W_0(S) & H_{12}(S) \\ H_{21}(S) & W_1(S) \end{vmatrix}.$$

Собственные значения и собственные векторы этой матрицы

$$\begin{aligned} \tilde{E}_{12}^{(0)} &= \frac{1}{2} \left[W_1(S) + W_0(S) \right. \\ &\quad \left. \pm \sqrt{[W_1(S) - W_0(S)]^2 + 4H_{12}^2(S)} \right], \end{aligned}$$

$$\tilde{\Psi}_1 = \tilde{C}_1(S)\Psi_1 - \tilde{C}_2(S)\Psi_2,$$

$$\tilde{\Psi}_2 = \tilde{C}_2(S)\Psi_1 + \tilde{C}_1(S)\Psi_2,$$

$$\tilde{C}_{1,2}(S) = \frac{1}{\sqrt{2}} \sqrt{1 \pm \frac{W_1(S) - W_0(S)}{\sqrt{[W_1(S) - W_0(S)]^2 + 4H_{12}^2(S)}}}. \quad (20)$$

В базисе, образованном функциями $\tilde{\Psi}_1, \tilde{\Psi}_2, \Psi_3, \Psi_4, \dots$, матрица $\|H\|$ примет вид

$$\|H\| = \begin{vmatrix} \tilde{E}_1^{(0)} & 0 & -\tilde{C}_2 H_{23} & -\tilde{C}_2 H_{24} & \dots \\ 0 & \tilde{E}_2^{(0)} & C_1 H_{23} & C_1 H_{24} & \dots \\ -\tilde{C}_2 H_{23} & C_1 H_{23} & W_2(S) & 0 & \dots \\ -\tilde{C}_2 H_{24} & C_1 H_{24} & 0 & W_2(S) & \dots \end{vmatrix}.$$

При $J_{13} = 140, J_{15} = 17, J_{35} = 48 \text{ см}^{-1}$ даже для $S = 0$ значение $W_2(S) - \tilde{E}_1^{(0)}(S) = 872 \text{ см}^{-1}$ существенно превышает величины недиагональных компонент $\tilde{C}_2 H_{23}(0) = 121$ и $\tilde{C}_2 H_{24}(0) = 234 \text{ см}^{-1}$. В этом случае в линейном по $\chi = \frac{V}{W_2 - \tilde{E}_1^{(0)}} \ll 1$ ($V = \tilde{C}_2 H_{24}$, $\tilde{C}_2 H_{23}$) приближении получаем

$$E_0(S) = \tilde{E}_1^{(0)}(S) + \frac{\tilde{C}_2^2 (H_{24}^2 + H_{23}^2)}{W_2(S) - \tilde{E}_1^{(0)}(S)}. \quad (21)$$

Численные значения $E_0(S)$ ($S = 0, 1, \dots, 10$) при указанных выше величинах J_{ij} приведены в таблице. Поведение актуальных уровней в поле определяется выражением

$$E_0(S, H) = E_0(S) - 2\mu_B S H - 20\mu_B H. \quad (22)$$

Из таблицы и формулы (20) следует, что с ростом поля происходят последовательные пересечения нижних уровней энергии, отвечающих различным значениям S и $M = -S - 10$ (M — магнитное квантовое число всего кластера). Значения полей, при которых происходит смена состояний, характеризующихся квантовыми числами S и $S + 1$, определяются из условия

$$2\mu_B H_S = E_0(S + 1) - E_0(S). \quad (23)$$

Значения H_S для J_{ij} , определенных в (2), приведены в таблице.

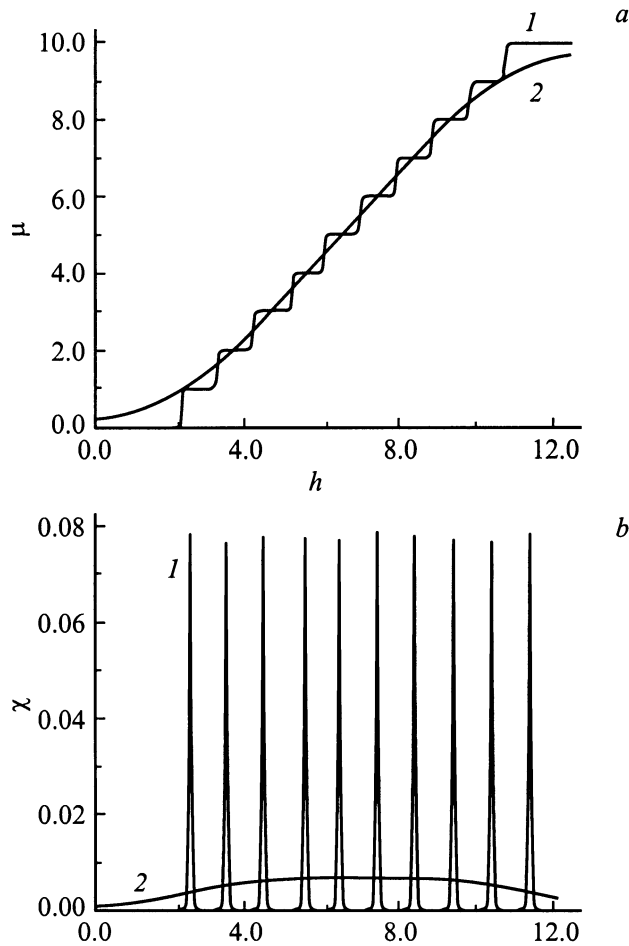


Рис. 2. Зависимость относительной намагниченности (а) и относительной магнитной восприимчивости (б) кластера Fe_8 от магнитного поля h . $h = 2\mu_B H/J_{13}$; 1 — $\tau = kT/J_{13} = 0.02$ ($T = 4.2$ К), 2 — $\tau = 1.4$ ($T = 300$ К).

3. Намагниченность и восприимчивость кластера Fe_8

Зависимость намагниченности кластера от напряженности поля и температуры определяется выражением

$$M(H) = 2\mu_B \frac{\sum_{S=0}^{10} S \exp[-(E_0(S) - 2\mu_B SH)/kT]}{\sum_{S=0}^{10} \exp[-(E_0(S) - 2\mu_B SH)/kT]} + 20\mu_B, \quad (24)$$

где $E_0(S)$ определены формулами (21). Для анализа магнитных свойств кластера Fe_8 удобно перейти к безразмерным величинам $h = 2\mu_B H/J_{13}$, $\tau = T/J_{13}$, $\varepsilon_0(S) = E_0(S)/J_{13}$, $\mu = M/2\mu_B$. Тогда (24) примет вид

$$\mu(h, \tau) = \tilde{\mu}(h, \tau) + S_0,$$

$$\tilde{\mu}(h, \tau) = Z^{-1} \sum_{S=0}^{10} S \exp\left(-\frac{\varepsilon_0(S) - hS}{\tau}\right),$$

$$Z = \sum_{S=0}^{10} \exp\left(-\frac{\varepsilon_0(S) - hS}{\tau}\right), \quad (25)$$

$S_0 = 10$ — спин основного состояния в слабых магнитных полях.

Исходя из выражения (25), легко получить выражение для безразмерной магнитной восприимчивости

$$\chi(h, \tau) = (\partial\mu(h, \tau)/\partial h)_\tau = \tau^{-1} \left\{ Z^{-1}(h, \tau) \times \sum_{S=0}^{10} S^2 \exp\left(-\frac{\varepsilon_0(S) - hS}{\tau}\right) - \tilde{\mu}^2(h, \tau) \right\}.$$

На рис. 2 представлены зависимости намагниченности (рис. 2, а) и магнитной восприимчивости (рис. 2, б) кластера Fe_8 от внешнего магнитного поля, рассчитанные при $J_{12} = 25$, $J_{13} = 140$, $J_{15} = 17$, $J_{35} = 48 \text{ см}^{-1}$ для низкой $T_1 = 4.2$ К ($\tau_1 = 0.02$) и высокой $T_2 = 300$ К ($\tau_2 = 1.4$) температур.

Таким образом, в работе теоретически исследована индуцированная магнитным полем перестройка спиновой структуры магнитного кластера Fe_8 . Показано, что переход от ферримагнитной структуры к ферромагнитной реализуется, как система 10 квантовых скачков, амплитуда каждого из которых равна $1\mu_B$. Все скачки находятся в мегагауссном диапазоне поля. Первые три скачка могут быть измерены с помощью современных генераторов МК-1 [15]. Для измерения остальных необходимы ультрасильные поля более 10 МГс.

Список литературы

- [1] D. Gatteschi, A. Caneschi, L. Pardi, R. Sessoli. Science **265**, 1054 (1994).
- [2] R. Sessoli, D. Gatteschi, A. Caneschi, H.A. Novak. Nature **356**, 141 (1993).
- [3] J.R. Friedman, M.P. Sarachik, J. Tejada, R. Ziolo. Phys. Rev. Lett. **76**, 3830 (1996).
- [4] L. Thomas, F. Lioni, R. Ballou, D. Gatteschi, R. Sessoli, B. Barbara. Nature **383**, 145 (1996).
- [5] V.V. Dobrovitski, A.K. Zvezdin. Europhys. Lett. **38**, 377 (1997).
- [6] R. Sessoli, Hin-Lien Tsai, A.R. Shake et al. J. Am. Chem. Soc. **115**, 1804 (1993).
- [7] A. Caneschi, D. Gatteschi, R. Sessoli. J. Am. Chem. Soc. **113**, 5872 (1991).
- [8] L. Gunther. Europhys. Lett. **39**, 1 (1997).
- [9] А.К. Звездин, А.И. Попов. ЖЭТФ **109**, 2115 (1996).
- [10] A.I. Barra, P. Debrunner, D. Gatteschi, C.H.E. Schultz, R. Sessoli. Europhys. Lett. **35**, 133 (1996).
- [11] O. Kahn, C. Jay Martinez. Science **279**, 44 (1998).
- [12] А.К. Звездин, V.V. Dobrovitski, B.N. Harmon, M.I. Katsnelson. Phys. Rev. B (1998).
- [13] А.К. Звездин. Field-induced phase transitions in ferrimagnets. Handbook of Magnetic Materials. Vol. 9 / Ed. by K.H.J. Buschov (1995). P. 405.
- [14] Д.А. Варшавович, А.Н. Москалов, В.К. Херсонский. Квантовая теория углового момента. Наука, Л. (1975).
- [15] А.Д. Сахаров. УФН **88**, 725 (1966).